## 資 料

ウイルス含有エアロゾルの液相捕集による PRRSV と PCV2の流行動態評価に向けた取り組み

安浦雅人<sup>1)</sup>、赤上正貴<sup>2)</sup>、川上純子<sup>2)</sup>、都筑智子<sup>3)</sup>、栗田敬介<sup>4)</sup>、鈴木雅美<sup>4)</sup>、藤井勇紀<sup>5)</sup>、堀口諭吉<sup>1)</sup>、芦葉裕樹<sup>1)</sup>、福田隆史<sup>1)</sup>

(¹)(国研)産業技術総合研究所 センシングシステム研究センター、²) 茨城県 県西家畜保健衛生所、³) 茨城県 鹿行家畜保健衛生所、⁴) 茨城県 県南家畜保健衛生所、⁵) 茨城県 農林水産部 畜産課)

Yasuura, M., Akagami, M., Kawakami, J., Tsuzuku, S., Kurita, K., Suzuki, M., Fujii, Y., Horiguchi, Y., Ashiba, H., Fukuda, T. (2025). Evaluation of PRRSV and PCV2 epidemic dynamics using a liquid cyclonic collector to virus-containing aerosol sampling.

Proc. Jpn. Pig Vet. Soc. 85, 13-18.

キーワード:エアーサンプラー、核酸検出、飛沫感染

#### 1. はじめに

ヒト・動物を問わず、ウイルス感染症の流行動態の 把握は切実な問題である。観測するべき集団の規模が 大きくなるほど、コスト・労力面から全数検査は困難 になるが、集団から一部個体を抜き取って検査する抽 出検査の場合、確率的な見逃しは避けられない。また、 抗体検査など一部の検査手法では、感染の履歴は把握 できるものの現在の流行を必ずしも反映していない結 果が出る場合もある。そこで本研究では、ウイルス感 染症の流行動態を把握する手段として、感染個体から 排出されたウイルスを空間から採取・測定する手法<sup>2)</sup> に注目した。エリアごとのウイルスの有無を的確に把 握できれば、適切な清浄化処置と組み合わせることで 予防・拡大防止策といった防疫技術にも繋がる。サイ クロン式エアーサンプラーによるバイオエアロゾルの 液相捕集法を用いて、豚舎内に漂うウイルス含有エア ロゾルを捕集・検出し、群れごとの流行動態評価への 可能性を模索した。

# 2. ウイルス含有エアロゾルの液相捕集とその評価法

ウイルスを含有するバイオエアロゾルの液相捕集には、市販のサイクロン式エアーサンプラー「コリオリス  $\mu$ 」(Bertin Technologies、France)を用いた。当該エアーサンプラーは、人・動物を問わず感染ウイルスの気中検出に用いられた実績があり<sup>1.8)</sup>、100-300 L/min で空気を吸引し、 $0.5-10\mu$ m サイズのエアロゾル等粒子を捕集液中に捕集可能である。我々は、本研

究の事前検討として、HEPAフィルターFFU(Fan Filter Unit) や UV (UltraViolet) 照明を完備した約10m³のグローブ付き陰圧ブース内で、超音波式ネブライザ NE-U780 (オムロン、京都府)を用いて PBS 希釈した 豚繁殖・呼吸障害症候群ウイルス (PRRSV) のワクチン株を散布し、当該エアーサンプラーで回収する実験を行い、当該エアーサンプラーによるウイルスの回収とポリメラーゼ連鎖反応法 (PCR) による検出、アフリカミドリザル腎由来株化細胞 (MA104)を用いた捕集液中の感染増殖性を有するウイルスの存在確認が可能であることを確認している。

また、家畜の群れごとのウイルス感染状況を把握す ることを目的とする場合の、PCR による捕集液中のウ イルス核酸検出に基づく気中ウイルスの評価指標につ いても事前の検討を行った。Otake ら (2010) の文献<sup>7)</sup> のように、家畜から十分に距離を取った位置(数 km 程度) でのサンプリングであれば、ウイルス含有エア ロゾルは距離とともに拡散し、風向きの影響はあるも のの10分前後のサンプリング時間内において捕集され るウイルス量が大きく変動することは起こりにくくな ると考えられる。しかし、家畜の群れごと、例えば同 一農場内での畜舎の棟ごとでの感染状況把握を目的と する場合、サンプリング場所は畜舎内、すなわち家畜 の直近で行う必要が生じる。このような場合、サンプ リング時間内における咳などの家畜の行動に依存して、 同一地点で逐次サンプリングした捕集液からのウイル ス検出量が数桁範囲で変動し、捕集液からのウイルス 検出量を指標とすることが困難であることを、我々は 本研究に先行して実施した牛舎での検討において確認 した<sup>12)</sup>。

そこで我々は、家畜の直近で捕集を行う場合の気中ウイルス検出における検出量に代替する指標として、同時或いは逐次サンプリングした複数サンプルにおける陽性の割合、検出率を用いることを検討している。牛舎における検討では、この検出率を指標とすることで、流行状況やサンプリング位置の関係を反映した評価値になることを確認できたため<sup>12)</sup>、本研究においてもこの検出率を指標として採用することが有効か検討するべく解析に用いた。

# 7 豚舎内エアロゾルサンプリングによる動態把 握実証実験

本研究では、新たに PRRSV 感染が確認された農場において、棟がそれぞれ異なる日齢別の5つの豚群に対して、5カ月にわたり月1回の追跡サンプリングを実施し、豚群ごとの PRRSV 及び豚サーコウイルス2

型(PCV2)の流行の動態把握を検討した。当該農場 は、繁殖母豚約600頭を飼養する一貫経営農場であり、 一部の肥育豚は別農場で飼養されていた。PRRS 清浄 農場であったが、2023年春に PRRSV の侵入が確認さ れた。当該農場ではPCV2が原因とみられる問題は生 じていなかったため、定期的な PCV2検査は実施され ていなかった。2023年春の PRRSV 侵入により、繁殖 豚の死産・流産、また子豚・肥育豚の一過性の呼吸器 症状が見られたが、その他の症状は特に認められてい なかった。当該農場におけるワクチン使用状況は、 PRRSV ワクチンについては2023年春の PRRSV 侵入 を受けて不活化ワクチンの接種を開始しており、PCV 2ワクチンについては、子豚に不活化ワクチンを3-5日齢及び約3週齢の2回接種している。各豚群のサ ンプリング時期と日齢(概算)・採血頭数・豚舎の関係 を表1に、各豚舎の模式図とサンプリング位置を図1

表 1 各豚群の日齢表

検査月		2023 年				
豚群		3 月	4 月	5 月	6 月	7 月
A	日齢 採血* 豚舎	母豚+0-7 5(0/5) 分娩舎	母豚+30 6(0/6) 分娩舎	60 5(0/1) 育成舎 γ	90 5(1/1) 育成舎 γ	120 5(0/1) 肥育舎 δ
В	日齢 採血* 豚舎	母豚 11(2/11) ストール	母豚 8(0/8) ストール	母豚 5(2/5) ストール		母豚 5(0/5) ストール
С	日齢 採血* 豚舎	60 5(1/1) 育成舎 α	90 5(1/1) 育成舎 α	120 5(0/1) 肥育舎 β	150 5(0/1) 肥育舎 β	-
D   1	日齢 採血* 豚舎	40 9(3/3)	70 9 (1/3) 本中介	100 5(1/1) 育成舎 β	130 5(0/1) 肥育舎 γ	160 5(0/1) 肥育舎 γ
D   2	日齢 採血 <sup>*</sup> 豚舎	育成舎 β	育成舎 β	100 18(0/6) 別農場	130 18(0/6) 別農場	160 20 (0/4) 別農場
Е	日齢 採血* 豚舎	130 6(2/2) 肥育舎 α	160 9(1/3) 肥育舎 α	-	-	-

※採血欄の冒頭の数字は採血頭数、() 内の数字は、RT-PCR における PRRSV の陽性数/検体数であり、採血頭数と検体数が異なる場合は複数 サンプルをプールして RT-PCR に供している。各色枠は、図 1 の色枠と対応しており、各豚群が 1 つの豚舎に飼養されていた期間を表している。

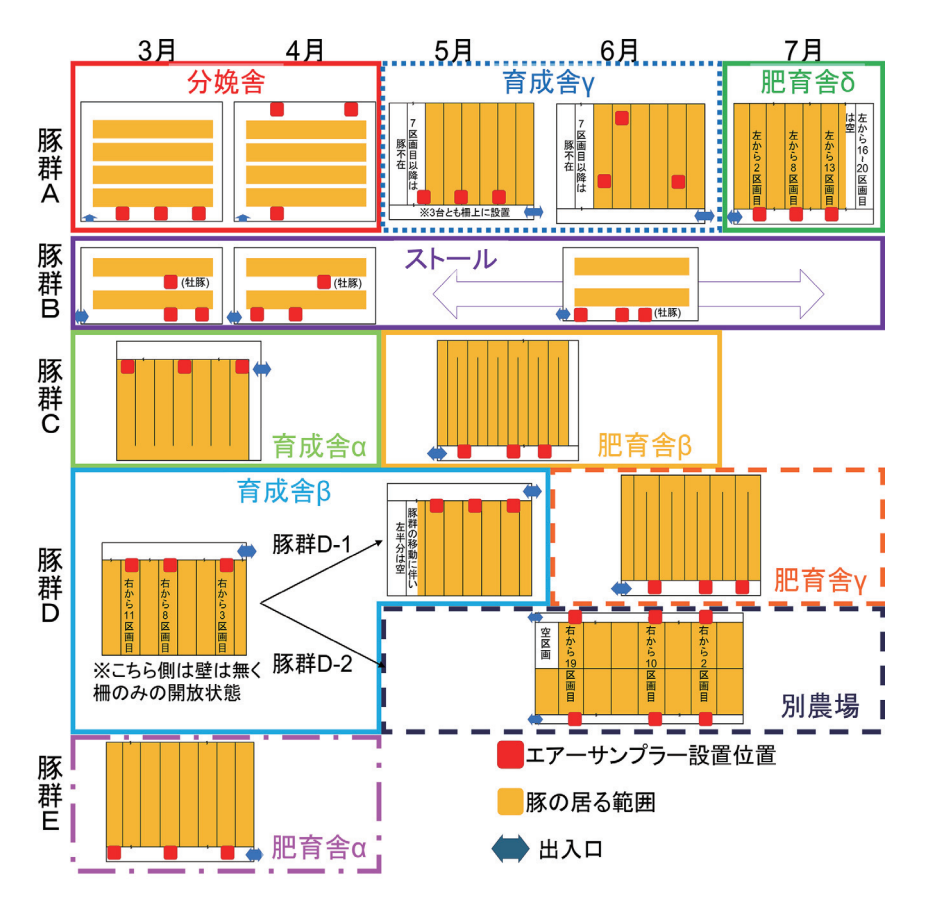


図 1 各豚舎の見取り図及びサンプリング位置情報

※各色枠は、表 1 の色枠と対応しており、各豚群が 1 つの豚舎に飼養されていた期間を表している。同一の豚舎でも、月によって採取地点が異なる場合は、同一の色枠内でも月毎に見取り図を示している。

に示す。豚群 D については、中途で約半数が別の農場 へ移動したため、豚群 D-1、D-2と区別する形を取っている。

各豚群は、常にそれぞれ別棟に飼養されており、豚 群間での個体の移動は無かった。各豚群の中には、生 育に伴って別棟へ移動した豚群(A、C、Dが該当) もあり、最大2回、異なる棟へ移動している。 豚群 C 及 びEは、実施期間中に出荷時期となったため一部期間 はデータなしとなっている。飼養形態は棟ごとに状況 が異なり、母豚のみ1区画に1頭が飼養される形であ り、母豚以外は棟によって幅があるが1区画あたり 10-数10頭が飼養され、1棟あたりの区画数は5-16区画 であった。1棟につき、3区画を選出し、1区画あた り4.2m³ (300L/min で14分) 相当の空気からのサンプ リングを1区画につき1回(計3サンプル/棟)と、1 区画あたりランダムに抽出した1-4頭分の豚の採血を 実施した。ストールについては1頭ずつ仕切られてい た関係で、空気からのサンプリングを実施した位置の 目の前の個体に加え、棟全体からランダムで選出して、

合計5-11頭分の豚の採血を行った。エアロゾル捕集サ ンプルの PCR 測定においては、1サンプルから2回 に分けて核酸抽出を行い、それぞれの核酸抽出液ごと に duplicate での qPCR 測定を行う形で、1 サンプル につき4ウェル分(2ウェル×2核酸抽出液)の測定 を行った。検出率の算出においては、上記4ウェルの 内、2ウェル以上陽性で1点、1ウェル陽性で0.5点 (偽陽性の疑いを点数に反映)、陽性ウェル無しで0点 の点数化を行い、1棟3サンプルの合計点数を3で 割った数値を検出率として定義した。採血サンプルの PCR 測定においては、母豚では個体毎、肥育豚では豚 舎または区画毎に血清をプールしたものから核酸抽出 を行い、RT-PCRを行った。検出率の算出においては、 エアロゾル捕集サンプルに倣う形で、陽性を1点、陰 性を 0 点とし、合計点数をその棟の採血サンプル数で 割った数値を検出率として定義した。但し、プールし た血液の測定については、1プールを1サンプルとし て計算した。各豚群について、気中・血中のウイルス 核酸検出を PRRSV と PCV2について PCR 法を用いて

行い、本手法並びに検出率による評価の妥当性を調査 するべく、検出率の推移を比較検討した。

# 4. 気中・血中ウイルスの検出に用いた核酸検出 条件

気中・血中のウイルス核酸検出に用いた PRRSV 及び PCV2のプライマーの条件を以下に示す。

気中 PRRSV<sup>9)</sup>: TaqMan プローブによる RT-qPCR。 ターゲットは北米型の ORF6。

Forward primer TCCAGATGCCGTTTGTGCTT
Reverse primer GACGCCGGACGACAAATG
TaqManMGB probe CCCTGCCCACCACGT
血中 PRRSV<sup>4)</sup>: Conventional RT-PCR。ターゲット
は北米型・欧州型共通の ORF6-ORF7-3' UTR。

Forward primer GTACATTCTGGCCCCTGCCC Reverse primer GCCCTAATTGAATAGGTGAC 気中 PCV2<sup>11)</sup>: TaqMan プローブによる qPCR。ター ゲットは PCV2b の ORF2。

Forward primer GAGCAGGGCCAGAATTCAAC Reverse primer TCCCGCACCTTCGGATATACT TaqManMGB probe TCTGTAGTATTCAAAGGG 血中 PCV2<sup>3</sup>): Conventional PCR。ターゲットはPCV2aのORF2。

Forward primer AGAAGGGTTGGGGGATTGTATG

Reverse primer GGAGACGGAAAAATGGCATCTT 気中ウイルス検出は産総研が、血中ウイルス検出は家畜保健衛生所が担当した。気中ウイルス検出においては、全自動核酸抽出装置 magLEAD 12gC (プレシジョン・システム・サイエンス、千葉県) による核酸抽出に、ハイドロキシアパタイト粒子 Bio-Gel HT Hydroxyapatite (Bio-Rad、USA) を用いた濃縮サンプルを供している。気中 PCV2検出については、5月から検査対象として追加したため、3月・4月の検査は5月以降と異なり、 $1\sim2$ カ月程度-80C 保存していたサンプルから核酸抽出して検出している。血中ウイルス検出においては、月毎に採血した頭数や同一豚群サンプル内でプールを行ったかなどが現場状況に合わせて異なっており、検出率の計算の分母が月毎に変化している点に注意を要する。

#### 5. 動態把握実証実験結果

図2に気中及び血中のPRRSV 検出率の推移を、図3に気中及び血中のPCV2検出率の推移を示す。血中検出率は抽出検査の結果であることから、採血頭数が限られる状況では確率的な見逃しの可能性が考えられるため、血中検出率0%のデータ点についても、必ずしもウイルス血症個体が居なかったことを示すものではない。

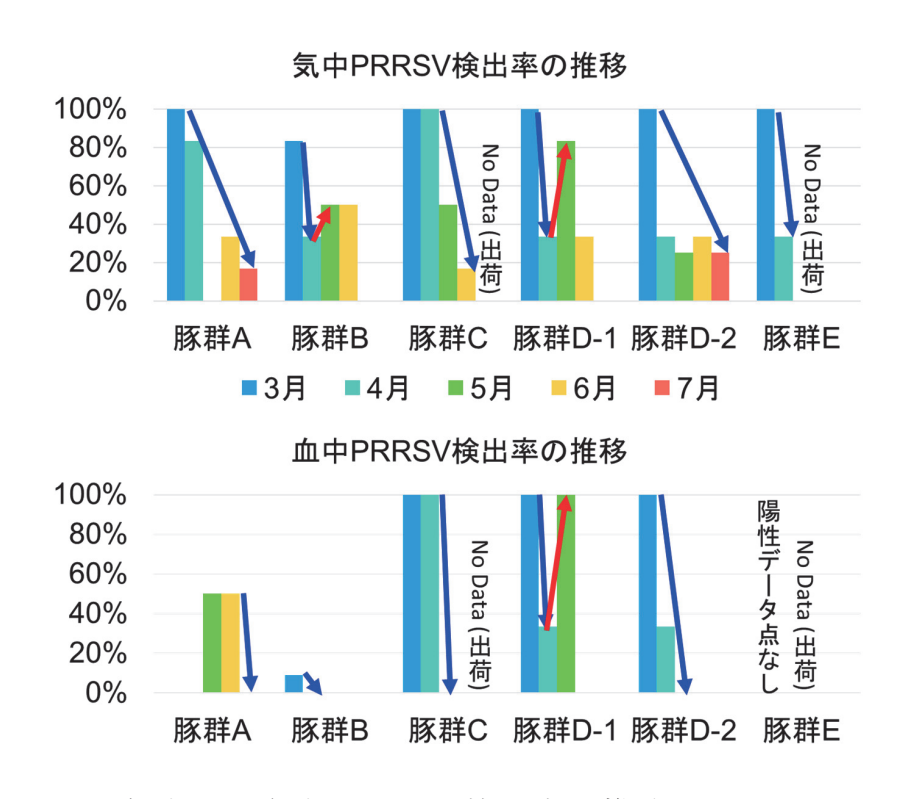


図2 気中及び血中の PRRSV 検出率の推移

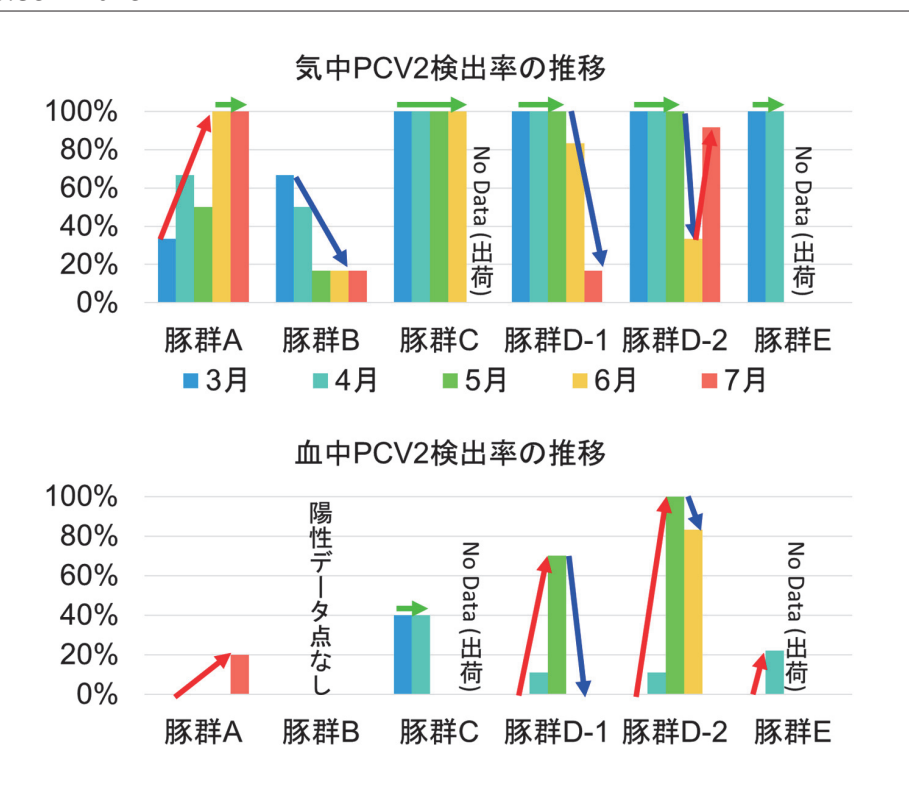


図3 気中及び血中の PCV2 検出率の推移

図2中に青矢印で示すように、PRRSVの気中検出率は全体に低下傾向を示しており、この点はPRRSVの血中検出率が低下傾向を示している点と対応している。また、豚群D-1については、PRRSVの気中・血中ウイルス検出率ともに4月から5月にかけて上昇傾向を示しており、全体の低下傾向の一致と併せて流行の消長の動態が相互によく整合している。このことから、PRRSVの気中・血中ウイルス検出率については、上昇・低下の傾向に対応関係が見られると言える。

図3中に緑矢印で示すように、PCV2の気中ウイルス検出率は豚群B以外のすべての群で検出率100%となる時期が存在し、血中PCV2が陽性となった条件はいずれもこの気中PCV2検出率100%の期間中であり、一定程度の対応関係が見られる。但し、PCV2は熱や消毒剤に対して高い耐性を持ち、豚舎の環境条件において長期間安定している可能性が指摘されているウイルスであり5,10、最小必須培地懸濁時に37℃で12時間のインキュベートにより力価が半減する6との報告もあるPRRSVに比して、気中ウイルス検出においては環境中に残留した核酸を検出している可能性がPRRSVより高くなるため、このデータのみをもとに気中・血中検出率の上昇・下降傾向の対応関係やPRRSVの変動との関係性、感染個体から排出されているPCV2の量などに関する考察を行うことは難しい。

#### 6. 5カ月の追跡調査で見えてきたもの

本研究では、新たに PRRSV 感染が確認された農場 における5カ月の追跡調査をPRRSV及びPCV2につ いて気中・血中ウイルス検出率を指標として実施し、 PRRSV・PCV2ともに気中・血中検出率に一定程度の 対応関係を確認した。特に PRRSV については、気中・ 血中検出率の増減の傾向に対応関係が見られ、環境耐 性が高いことで知られる PCV2と比較して、直近の動 態を捉えやすい可能性があり、気中検出率を指標とし た流行動態の把握が期待できる。特に気中検出率の場 合は、採血頭数が少ない抽出検査による血液検査では 追えない変動を追うことが可能になる可能性も考えら れる。但し、今回実施したエアーサンプリングでは、 同一豚群のサンプリング状況が、「3台で同時に3区 画の捕集」と「1台で逐次に3区画の捕集」とが混在 する、生育に合わせ別の豚舎に移動したため飼養の密 集度合や建屋の開放具合が前月までと異なる等、現場 状況に合わせて許された範囲内でのサンプリングを 行ったものであるため、採血同様条件が一定していな い点には注意を要する。

### 7. 防疫技術への発展に向けて

本研究では、ウイルス含有エアロゾルの捕集・検出 技術を流行動態の把握に適用する可能性について検討 を行った。更なる検討が必要ではあるが、気中ウイルス検出による流行動態の把握が、採血による抽出検査を補完しうる可能性が示唆された。今後は、捕集・検出技術の更なる改良と実証を進めるとともに、清浄化技術との融合により、防疫技術へと進化させることを目指す。

## 利益相反

すべての著者は開示すべき利益相反はない。

## 引用文献

- Brown E, et al. (2021) Environmental and air sampling are efficient methods for the detection and quantification of foot-and-mouth disease virus. J Virol Meth, 287: 113988.
- 2) Dybwad M, et al. (2014) Comparative testing and evaluation of nine different air samplers: End-toend sampling efficiencies as specific performance measurements for bioaerosol applications. Aerosol Sci Technol, 48: 282-295.
- 3) Kawashima K, et al. (2007) Effects of dexamethasone on the pathogenesis of porcine circovirus type 2 infection in piglets. J Comp Path, 129: 294-302.
- 4) Kono Y, et al. (1996) Nested PCR for detection and typing of porcine reproductive and respiratory syndrome virus in pigs. J Vet Med Sci, 58: 941-946.
- 5) López-Lorenzo G, et al. (2019) Environmental distribution of porcine circovirus type 2 (PCV2) in swine herds with natural infection. Sci Rep, 9: 14816.
- 6) Mesa VL, et al. (2024) Survival of porcine reproductive and respiratory syndrome virus (PRRSV) in the environment. Vet Sci, 11: 22.
- 7) Otake S, et al. (2010) Long-distance airborne transport of infectious PRRSV and *Mycoplasma* hyopneumoniae from a swine population infected with multiple viral variants. Vet Microbiol, 145: 198-208.
- 8) Rahmani AR, et al. (2020) Sampling and detection of corona viruses in air: A mini review. Sci Total Environ, 740: 140207.
- 9) Revilla-Fernández S, et al. (2005) The use of en-

- dogenous and exogenous reference RNAs for qualitative and quantitative detection of PRRSV in porcine semen. J Virol Meth, 126: 21-30.
- Rose N, et al. (2012) Epidemiology and transmission of porcine circovirus type 2 (PCV2). Virus Res, 164: 78-89.
- 11) 柴田明弘ら (2018) 定量 PCR を用いた輸入豚のサーコウイルス 2 型遺伝子量調査. 日獣会誌, 71: 135-139.
- 12) 安浦雅人ら (2023) 家畜のウイルス感染症防疫に向けた実用的気中ウイルス検出法の開発. 第40回「センサ・マイクロマシンと応用システム」シンポジウム論文集, 7P2-PS-51.